

© 1992

**ФЛУКТУАЦИОННЫЕ ЭФФЕКТЫ  
В РЕШЕТОЧНОЙ МОДЕЛИ СВЕРХПРОВОДНИКА  
В ОКРЕСТНОСТИ ВЕРХНЕГО КРИТИЧЕСКОГО ПОЛЯ**

*B. C. Шерстинов*

Построены и проанализированы температурные зависимости флюктуационных вкладов для ряда термодинамических величин на основе решеточной модели функционала Гинзбурга—Ландау в сильном магнитном поле.

В работе [1] был дан анализ эффектов флюктуаций параметра порядка на термодинамику высокотемпературного сверхпроводника вблизи верхнего критического магнитного поля  $H_{c_2}$  на основе решеточного функционала Гинзбурга—Ландау. В частности, флюктуационный вклад в свободную энергию сверхпроводника выше точки перехода  $T_c$  был представлен с помощью матрицы Харпера, на основе которой, применяя интерполяционную модель, в гауссовом приближении были рассчитаны флюктуационные поправки к энтропии, теплоемкости и магнитному моменту. При этом было отмечено явление кроссовера с трехмерного на квазидимерный режим. В настоящей работе построены и проанализированы температурные зависимости для ряда термодинамических величин.

Поправка к свободной энергии сверхпроводника, обусловленная невзаимодействующими флюктуациями параметра порядка, есть [1]

$$\Delta F = -T \ln \int D\Psi D\Psi^* \exp \left\{ -\frac{1}{T} \int d^d r \left[ \Psi^*(r) \times \right. \right. \\ \left. \left. \times E \left( -i\nabla - \frac{e}{c} A \right) \Psi(r) + \tau |\Psi|^2 + \frac{\hbar^2 k_3^2}{2m_3} |\Psi|^2 \right] \right\}, \quad (1)$$

где  $\Psi(r)$  — комплексный параметр порядка;  $\tau = \alpha(T - T_c)$ ;  $\alpha > 0$ ;  $k_B = 1$ ;  $k_3$  — квазиволновой вектор в направлении магнитного поля;  $E(k)$  — зонный спектр.

Показано [1], что задача (1) сводится к выражению

$$\Delta F = -T \ln \int D\varphi_k D\varphi_k^* \exp \left\{ -\frac{1}{T} \sum_k \left[ \varphi_k^* \left( H_k + \tau + \frac{\hbar^2 k_3^2}{2m_3} \right) \varphi_k \right] \right\}, \quad (2)$$

где  $\varphi_k$  —  $q$ -компонентный комплексный параметр порядка, причем  $p/q = \Phi/\Phi_0$ ;  $p$  и  $q$  — взаимно простые числа;  $\Phi$  — поток магнитного поля через пластины;  $H_k$  — матрица Харпера

$$H_k = \Delta_H \begin{pmatrix} 2 \cos \left( k_y + \frac{2\pi p}{q} \right) & \exp(-ik_x) & \exp(ik_x) \\ \exp(ik_x) & 2 \cos \left( k_y + \frac{4\pi p}{q} \right) & 0 \\ 0 & \exp(ik_x) & 0 \\ & 0 & \exp(-ik_x) \\ \exp(-ik_x) & 0 & 2 \cos(k_y + 2\pi p) \end{pmatrix}. \quad (3)$$

Формулу (2) можно представить в виде

$$\Delta F = T \ln \left\{ \det \left[ \frac{1}{T} \left( H_k + \tau + \frac{\hbar^2 k_3^2}{2m_3} \right) \right] \right\} \quad (4)$$

или

$$\Delta F = T \operatorname{Sp} \ln \left[ \frac{1}{T} \left( E_{n,k} + \tau + \frac{\hbar^2 k_3^2}{2m_3} \right) \right],$$

где  $E_{n,k}$  — спектр матрицы  $H_k$ ;  $n$  — номер ветви ( $n = 1, 2, \dots q$ );  $k = (k_x, k_y)$ .

Очевидно, что знание функций  $E_{n,k}$  решает, по крайней мере в принципе, проблему расчета флуктуационных поправок к термодинамическим величинам. Однако поиск спектра матрицы Харпера [2-4], который состоит из совокупности полос с законами дисперсии, являющимися функциями от  $(\cos qk_x + \cos qk_y)$ , в общем случае представляет достаточно сложную задачу. По этой причине в работе [1] для (2) в пределе больших  $q$  ( $q \gg 1$ ) была реализована интерполяционная модель, что позволило записать поправку к свободной энергии в гауссовом приближении

$$\Delta F = T_c q \int_{-\pi}^{\pi} dk_x \int_{-\pi/q}^{\pi/q} dk_y \frac{1}{4\pi^3} \int_0^\infty dk_3 \ln \left\{ \frac{1}{T_c} \left[ \frac{\Delta_H}{4} \times \right. \right. \\ \left. \left. \times (\cos qk_x + \cos qk_y - 2) + \tau + \frac{\hbar^2 k_3^2}{2m_3} \right] \right\}. \quad (5)$$

Дифференцируя (5) по  $\tau$  и воспользовавшись методом собственного времени, получим следующее выражение для энтропии и теплоемкости:

$$d = 3$$

$$\Delta S = - \frac{T_c \sqrt{2m_3}}{4 \sqrt{\pi} \hbar q} V \int_0^\infty dt t^{-1/2} I_0^2 \left( t \frac{\Delta_H}{4} \right) \exp \left[ -t \left( \tau + \frac{\Delta_H}{2} \right) \right], \quad (6)$$

$$\Delta C = \frac{T_c^2 \alpha \sqrt{2m_3} V}{4 \sqrt{\pi} \hbar q} \int_0^\infty dt t^{1/2} I_0^2 \left( t \frac{\Delta_H}{4} \right) \exp \left[ -t \left( \tau + \frac{\Delta_H}{2} \right) \right] \quad (7)$$

( $V$  — объем системы, выраженный в длинах постоянной решетки),  
 $d = 2$

$$\Delta S = \frac{L^2 T_c}{q} \int_0^\infty dt I_0^2 \left( t \frac{\Delta_H}{4} \right) \exp \left[ -t \left( \tau + \frac{\Delta_H}{2} \right) \right], \quad (8)$$

$$\Delta C = -\frac{\alpha T_c^2 L^2}{q} \int_0^\infty dt t I_0^2 \left( t \frac{\Delta_H}{4} \right) \exp \left[ -t \left( \tau + \frac{\Delta_H}{2} \right) \right], \quad (9)$$

где  $L$  — линейный размер системы в длинах постоянной решетки. Во всех формулах принято  $p = 1$ ;  $I_0(x)$ ,  $I_1(x)$  — модифицированные функции Бесселя.

Графики функциональной зависимости приведенных выше величин от  $\tau$  представлены на рис. 1, 2. Прежде чем переходить к их обсуждению, отметим следующее: данные поправки к термодинамическим величинам рассчитаны в гауссовом приближении на основе интерполяционной модели для больших значений  $q$ . Представляет интерес сравнение этих величин, по крайней мере какой-либо одной из них, с аналогичным выражением, получаемым непосредственно

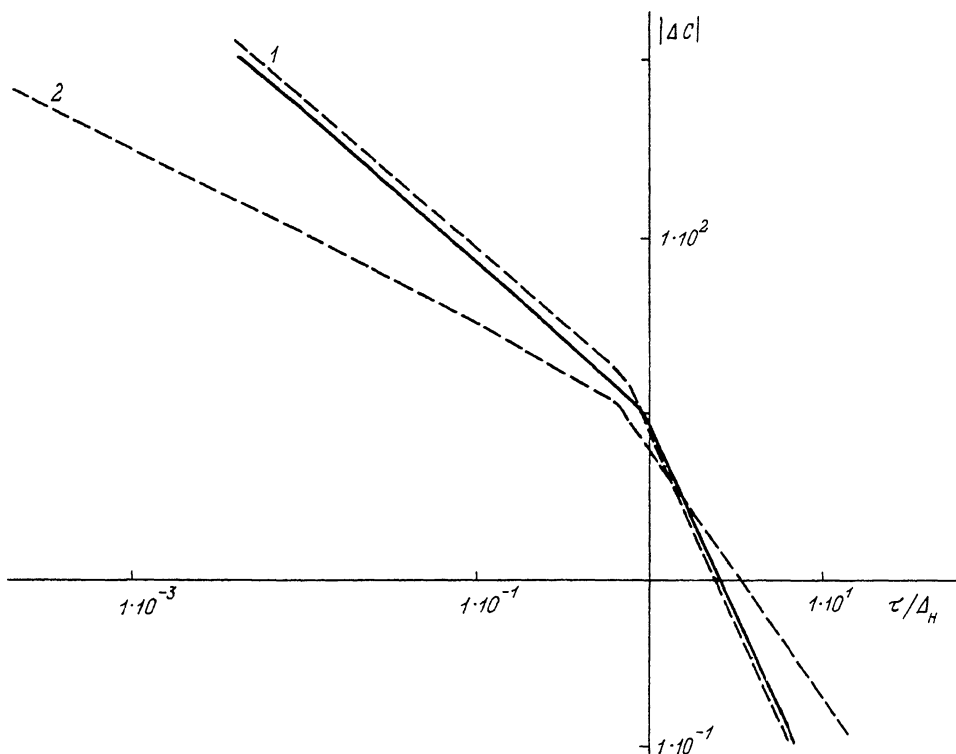


Рис. 1. Зависимость  $|\Delta C|$  от  $\tau$ .

Сплошная линия соответствует формуле (11), штриховые — гауссовому приближению.  $d = 2$  (1) и 3 (2).

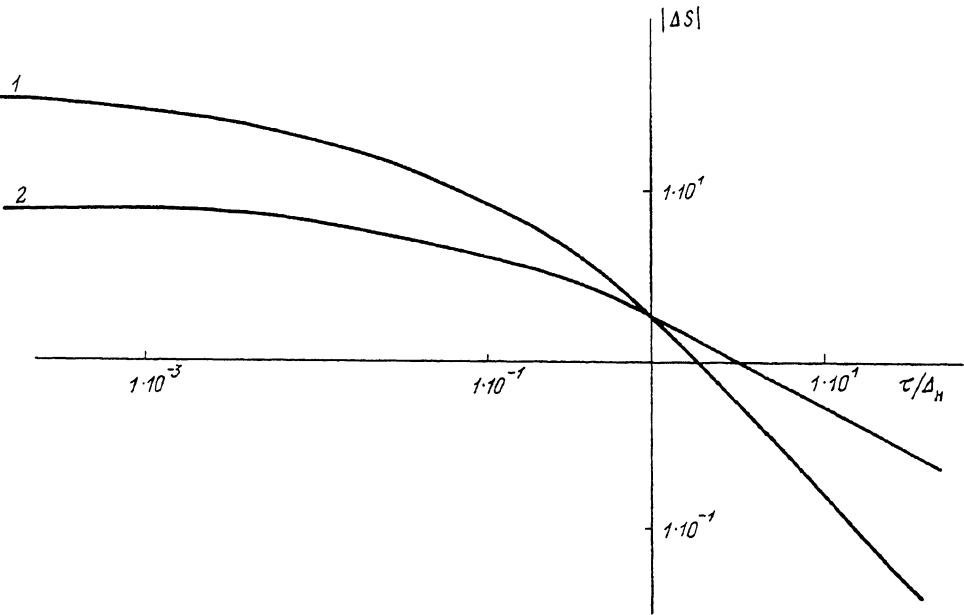


Рис. 2. Зависимость  $|\Delta S|$  от  $\tau$ .  $d = 2$  (1) и  $3$  (2).

через формулу (2). Именно при  $q = 1, 2, 3, 4$  мы можем точно решить уравнение на собственные значения матрицы Харпера. В частности, при  $q = 4$  имеем

$$E_{n,k} = \pm \Delta_H \sqrt{4 \pm 2 \sqrt{3 + \frac{1}{2} (\cos 4k_x + \cos 4k_y)}} + \Delta_H \sqrt{8}. \quad (10)$$

При этом мы положили минимальное значение спектра, равным нулю. Квазиволновой вектор пробегает редуцированную зону Бриллюэна:  $-p/4 < k_y < \pi/4$ ,  $-\pi < k_x < \pi$ . Проведем сравнение в двумерном случае для теплоемкости. Полагая  $C = -T\alpha^2 \partial^2 F / \partial T^2$ , имеем

$$\Delta C = T\alpha^2 \sum_{n, k_x, k_y} \frac{1}{(E_{n,k} + \tau)^2}. \quad (11)$$

Функция  $\Delta C(\tau)$  также представлена на рис. 1. Сравнение двух кривых показывает, что, несмотря на «небольшую» величину  $q$  ( $q = 4$ ), совпадение поправок для интерполяционной модели и для (2) хорошее. Далее, согласно кривым, это видно на зависимости теплоемкости от  $\tau$ , выше  $T \approx T_c + \Delta_H/1.7\alpha$  критические индексы решеточной и континуальной моделей [5, 6] совпадают. Область кроссовера составляет  $\sim 0.05\Delta_H$ , ниже которой характер сингулярности меняется, происходит эффективное «подавление» магнитного поля либо, с другой точки зрения, появляются две дополнительные эффективные размерности. Необходимо, однако, отметить, что в формуле (1) мы пренебрегли взаимодействиями флуктуаций, не учитывая вклад  $g |\Psi|^4$ , который велик в непосредственной окрестности  $T_c$ . Итак, мы можем отметить следующие асимптотические зависимости:

*d* = 2

$$\begin{aligned} \tau > \Delta_H, \quad \Delta S \sim \frac{\Delta_H}{\tau}, \quad \Delta C \sim -\frac{T_a}{\Delta_H} \left( \frac{\Delta_H}{\tau} \right)^2, \\ \tau < \Delta_H, \quad \Delta S \sim \ln \frac{\Delta_H}{\tau}, \quad \Delta C \sim -\frac{T_a}{\Delta_H} \left( \frac{\Delta_H}{\tau} \right), \end{aligned}$$

*d* = 3

$$\begin{aligned} \tau > \Delta_H, \quad \Delta S \sim -\sqrt{\frac{\Delta_H}{\tau}}, \quad \Delta C \sim \frac{T_a}{2\Delta_H} \sqrt{\left(\frac{\tau}{\Delta_H}\right)^3} \\ \tau < \Delta_H, \quad \Delta S \sim \text{const} + \sqrt{\frac{\tau}{\Delta_H}}, \quad \Delta C \sim \frac{T_a}{2\Delta_H} \sqrt{\frac{\tau}{\Delta_H}}. \end{aligned}$$

Таким образом можно сделать следующие выводы.

1. Имеется хорошая согласованность между функциональными зависимостями от  $\tau$  асимптотик термодинамических величин, с одной стороны, континуальной модели, а с другой — решеточной, выше точки кроссовера.

2. Интерполяционная модель, рассчитанная в предположении больших  $q$  ( $q \gg 1$ ), удовлетворительна уже при  $q$ , равном 4.

3. Ниже зоны кроссовера происходит решеточное подавление эффекта размерной редукции, вызванного магнитным полем.

Автор благодарен С. А. Ктиторову, Б. Н. Шалаеву, Ю. В. Петрову за обсуждение результатов.

#### Список литературы

- [1] Ктиторов С. А., Петров Ю. В., Шалаев Б. Н., Шерстинов В. С. // ФТТ. 1991. Т. 33. № 2. С. 575—579.
- [2] Nagref P. G. // Proc. Phys. Soc. 1955. V. A68. P. 874.
- [3] Азбель М. Я. // ЖЭТФ. 1964. Т. 46. № 5. С. 929—949.
- [4] Hofstadter D. // Phys. Rev. 1976. V. B14. N 6. P. 2239—2243.
- [5] Лифшиц Е. М., Питаевский Л. П. Статистическая физика. Ч. 2. М.: Наука, 1980. 447 с.
- [6] Brezin E., Nelson D. R., Thiavaille A. // Phys. Rev. 1985. V. 31. N 11. P. 7124—7131.

Физико-технический институт  
им. А. Ф. Иоффе РАН  
Санкт-Петербург

Поступило в Редакцию

17 июля 1991 г.

В окончательной редакции  
17 октября 1991 г.